

# ВЛИЯНИЕ ДАВЛЕНИЯ НА МЕЖСЛОЕВОЙ ТРАНСПОРТ И ЭЛЕКТРОННУЮ СТРУКТУРУ В КВАЗИДВУМЕРНОМ ДВУХСЛОЙНОМ ОРГАНИЧЕСКОМ МЕТАЛЛЕ $\theta\text{-}(\text{BETS})_4\text{HgBr}_4(\text{C}_6\text{H}_5\text{Cl})$

*P. B. Любовский<sup>a,b</sup>, С. И. Песоцкий<sup>a,b\*</sup>, Е. И. Жиляева<sup>a</sup>, Р. Н. Любовская<sup>a</sup>*

*<sup>a</sup> Институт проблем химической физики Российской академии наук  
142432, Черноголовка, Московская обл., Россия*

*<sup>b</sup> International Laboratory of High Magnetic Fields and Low Temperatures  
52-421, Wroclaw, Poland*

Поступила в редакцию 10 июля 2015 г.

Изучено поведение межслоевого сопротивления и магнитосопротивления в квазидвумерном двухслойном органическом металле  $\theta\text{-}(\text{BETS})_4\text{HgBr}_4(\text{C}_6\text{H}_5\text{Cl})$  при нормальном давлении и при гидростатическом давлении 10 кбар. Установлено, что при атмосферном давлении межслоевой транспорт осуществляется в некогерентном режиме. Приложение давления не меняет электронной структуры проводящих слоев, но вызывает переход к слабонекогерентному режиму при низких температурах.

DOI: 10.7868/S0044451016010181

## 1. ВВЕДЕНИЕ

Объектом предлагаемого исследования явились монокристаллические образцы квазидвумерного органического металла  $(\text{BETS})_4\text{HgBr}_4(\text{C}_6\text{H}_5\text{Cl})$ , где BETS — бис(этилендитиа)тетраселенофульвален. Как и в абсолютном большинстве слоистых органических проводников [1, 2], его структура представляет собой чередование катионных слоев, состоящих из молекул BETS, обладающих металлической проводимостью внутри слоя, и непроводящих анионных слоев. Такая структура обеспечивает анизотропию проводимости вдоль и перпендикулярно слоям в несколько порядков, формируя хорошо выраженную квазидвумерную электронную систему. Главная отличительная особенность исследованного слоистого металла связана с фазовым переходом при  $T \approx 240$  К [3, 4]. Выше этой температуры его кристаллическая структура является тетрагональной, а упаковка молекул BETS во всех катионных слоях одинакова и соответствует упаковке  $\theta$ -типа [3, 4]. Соответственно, поверхность

Ферми (ПФ) внутри катионного слоя одинакова для всех слоев обратной решетки.

При температуре, меньшей температуры перехода, симметрия решетки понижается до моноклинной [4]. При этом элементарная ячейка содержит два металлических слоя, в которых, при сохранении  $\theta$ -типа упаковки, молекулы BETS имеют различную ориентацию, что приводит к образованию двух различных ПФ. Эта структура соответствует новому типу квазидвумерных органических металлов — так называемому двухслойному металлу. В таких объектах, в отличие от традиционных квазидвумерных органических металлов, электронная структура катионного слоя транслируется через слой. При этом в соседних слоях она может соответствовать 1) двум металлам; 2) металлу и диэлектрику с малой щелью; 3) металлу и диэлектрику с большой щелью (см., например, обзор [5]).

Двухслойный органический металл  $(\text{BETS})_4\text{HgBr}_4(\text{C}_6\text{H}_5\text{Cl})$  относится к первому типу. Следует отметить, что таких материалов достаточно мало. В основном встречаются второй и третий типы устройства соседних катионных слоев [5]. Данный материал был, по-видимому, практически единственным объектом указанного типа, в котором подробно исследовались квантовые осцилляции магнитосопротивления, позволяющие

\* E-mail: pesot@icp.ac.ru

получить представление о ПФ металла [4]. Эти исследования показали наличие в спектре до восьми частот осцилляций Шубникова–де Гааза (ШдГ). Однако величины таких частот в модели Лифшица–Косевича не согласуются с теоретическим расчетом электронных орбит, сделанных на основе рентгеноструктурных данных. Одна из версий такого расхождения связана с возможностью электронного движения по орбитам, сформированным из участков ПФ, принадлежащих соседним катионным слоям. Такие орбиты могут иметь весьма сложный вид и зависеть от вероятности электронного перехода на соседний слой.

Предлагаемая работа содержит анализ межслоевого электронного переноса в  $(\text{BETS})_4\text{HgBr}_4(\text{C}_6\text{H}_5\text{Cl})$ . Ранее полученные результаты измерения температурных зависимостей сопротивления, которые показали металлический характер проводимости вдоль проводящих слоев и неметаллический перпендикулярно к ним [3, 4], позволили говорить о некогерентном режиме межслоевого транспорта. В настоящей статье приводятся результаты измерения угловых и полевых зависимостей магнитосопротивления, подтверждающие версию некогерентного переноса. Кроме того, приводятся результаты исследования магнитосопротивления под давлением  $P \sim 10$  кбар и оценивается влияние такого давления как на характер межслоевого транспорта, так и на электронную структуру катионных слоев в  $(\text{BETS})_4\text{HgBr}_4(\text{C}_6\text{H}_5\text{Cl})$  при низких температурах.

## 2. ЭКСПЕРИМЕНТ И ОБСУЖДЕНИЕ

Объектами исследования стали монокристаллические образцы, имеющие форму неправильного параллелепипеда с характерными размерами  $2 \times 1 \times 0.1$  мм<sup>3</sup>. Сопротивление образцов измерялось стандартным четырехконтактным методом на переменном токе 37 Гц. Измерительный ток всегда направлялся перпендикулярно проводящим слоям, т. е. измерялось межслоевое сопротивление. Магнитное поле до 15 Тл создавалось сверхпроводящим магнитом. В экспериментах с внешним давлением использовалась стандартная камера типа «поршень–цилиндр» с поршнем диаметром 4 мм, обеспечивающая гидростатическое давление до 15 кбар. В качестве среды, передающей давление, использовалась кремний-органическая жидкость ГКЖ-94.

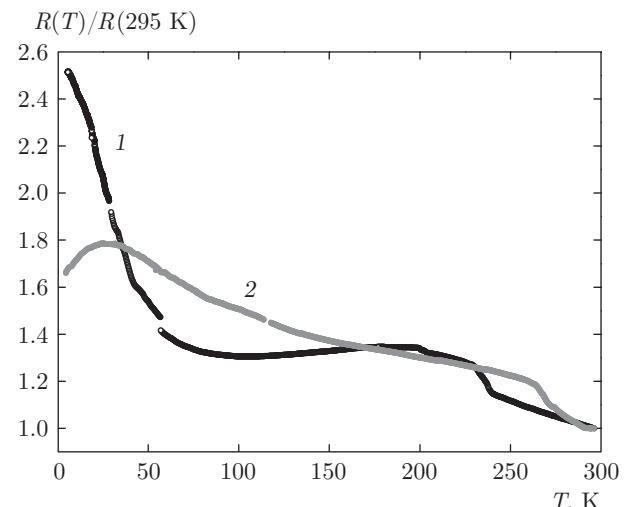
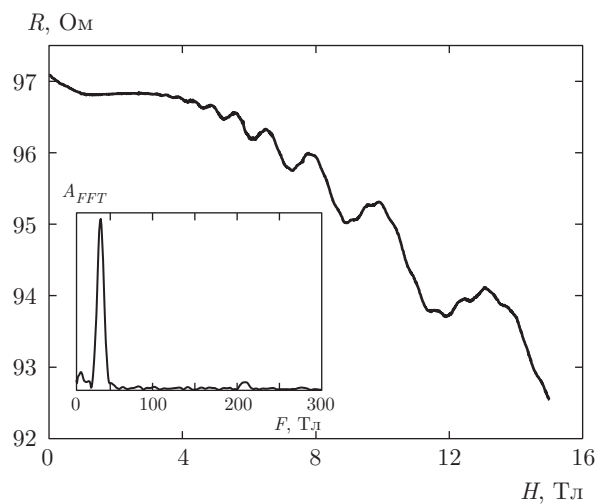


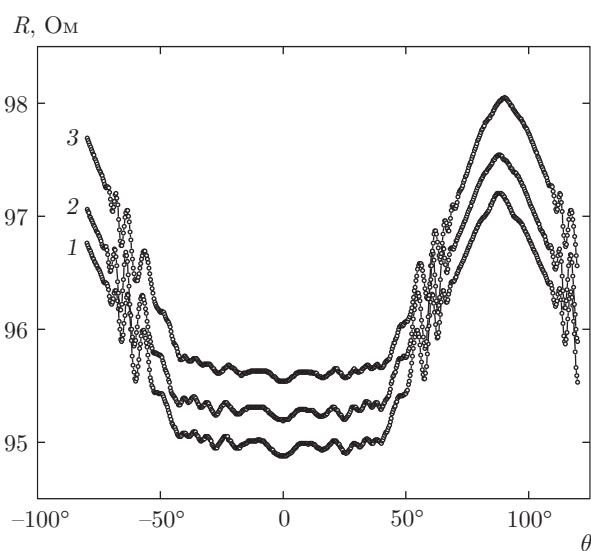
Рис. 1. Температурные зависимости межслоевого сопротивления в  $(\text{BETS})_4\text{HgBr}_4(\text{C}_6\text{H}_5\text{Cl})$  при нормальном давлении (1) и давлении  $P \sim 10$  кбар (2)

На рис. 1 (кривая 1) показана температурная зависимость межслоевого сопротивления в  $(\text{BETS})_4\text{HgBr}_4(\text{C}_6\text{H}_5\text{Cl})$  при нормальном давлении. При охлаждении сопротивление растет в большей части температурного интервала измерений. При этом его слабое падение в промежутке температур 200–100 К сменяется существенным монотонным ростом вплоть до гелиевых температур. Особенность поведения сопротивления в интервале 240–230 К связана с фазовым переходом первого рода, меняющим симметрию кристаллической решетки [4]. Такое поведение межслоевого сопротивления качественно и количественно хорошо согласуется с аналогичными результатами, полученными ранее [3, 4].

На рис. 2 изображена полевая зависимость магнитосопротивления в  $(\text{BETS})_4\text{HgBr}_4(\text{C}_6\text{H}_5\text{Cl})$  при направлении магнитного поля, перпендикулярном проводящим слоям, при температуре  $T \approx 1.45$  К. Величина магнитосопротивления незначительна, порядка нескольких процентов в максимальном поле, и имеет отрицательный знак, не свойственный нормальному металлическому состоянию. Начиная с  $H = 3$  Тл, наблюдаются осцилляции ШдГ с двумя различными частотами:  $F_1 \approx 40$  Тл и  $F_2 \approx 210$  Тл (вставка к рис. 2). Зависимость частот от полярного угла  $\theta$  между направлением поля и нормалью к проводящим слоям,  $F_i(\theta) = F_i(0)/\cos\theta$ , характерная для всех органических слоистых металлов, определяет цилиндрическую ПФ с осью вдоль нормали. Циклотронные массы, отвечающие частотам  $F_1$  и  $F_2$ , равны соответственно  $m_1 \approx (0.3 \pm 0.1)m_0$  и



**Рис. 2.** Зависимость сопротивления от магнитного поля при нормальном давлении и направлении поля, перпендикулярном проводящим слоям;  $T = 1.45$  К. На вставке: фурье-спектр осцилляций ШдГ



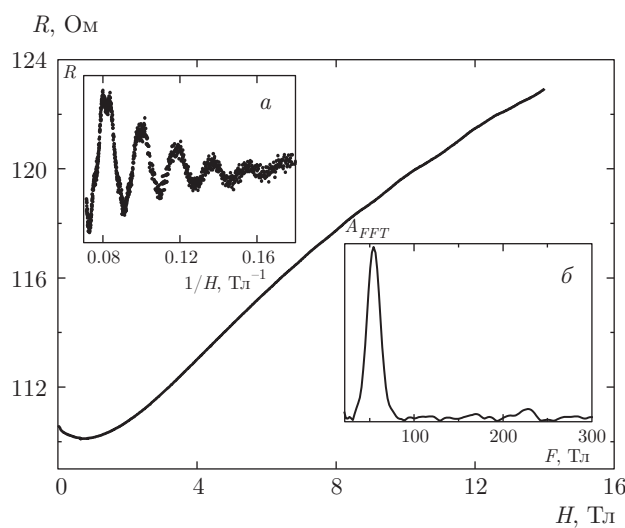
**Рис. 3.** Угловые зависимости магнитосопротивления в полярной плоскости при различных азимутальных углах  $\varphi = 0$  (1),  $48^\circ$  (2),  $108^\circ$  (3).  $T = 1.55$  К,  $H = 14$  Тл

$m_2 \approx (0.8 \pm 0.2)m_0$ , где  $m_0$  — масса свободного электрона. В работе [4] в импульсных полях до 55 Тл в спектре осцилляций ШдГ в  $(\text{BETS})_4\text{HgBr}_4(\text{C}_6\text{H}_5\text{Cl})$  наблюдается до восьми частот. Однако в полях до 15 Тл результаты работы [4] хорошо совпадают с настоящими результатами.

На рис. 3 представлены угловые зависимости магнитосопротивления в магнитном поле  $H = 14$  Тл от полярного угла  $\theta$  при различных азимутальных углах  $\varphi$  (угол в плоскости проводящих слоев), причем стартовый угол выбран произвольно. Кривая 1 соответствует координатным осям. Остальные кривые сдвинуты друг относительно друга на 0.3 Ом для наглядности. На этих кривых хорошо выражены осцилляции ШдГ. В интервале углов  $\pm 40^\circ$  наиболее заметны осцилляции с частотой  $F_2$ . Осцилляции с частотой  $F_1$  лучше видны в интервале  $\pm (50-70)^\circ$ .

Качественный и количественный анализ приведенных результатов и сравнение их с зависимостью сопротивления от поля (см. рис. 2) показывают, что а) магнитосопротивление почти не зависит от азимутального угла; б) величина магнитосопротивления при изменении угла  $\theta$  в полярной плоскости определяется, главным образом, проекцией поля на нормаль к проводящим слоям. Подобное поведение присуще слоистым металлам с некогерентным или слабонекогерентным межслоевым переносом [6, 7]. С учетом постоянного роста сопротивления при понижении температуры в  $(\text{BETS})_4\text{HgBr}_4(\text{C}_6\text{H}_5\text{Cl})$  (см. кривую 1 на рис. 1) предпочтительным выглядит именно некогерентный режим переноса, при котором время перехода электрона на соседний слой,  $\tau_h$ , существенно больше времени его рассеяния внутри металлического слоя,  $\tau_c$ :  $\tau_c \ll \tau_h$  [8, 9]. В этом случае ПФ представляется в форме гладкого цилиндра, характеризующего систему со слабовзаимодействующими металлическими слоями. Косвенным свидетельством в пользу такого выбора является также отрицательный знак магнитосопротивления (см. рис. 2), не характерный для нормального металлического переноса. Если принять во внимание различную электронную структуру и, в частности, различные ПФ соседних катионных слоев, то полученный результат не является неожиданным. Такое устройство слоистой системы ограничивает возможность когерентного межслоевого транспорта, так как переход электрона с сохранением импульса на соседний слой сильно затруднен.

Выше на рис. 1 (кривая 2) представлена температурная зависимость межслоевого сопротивления в  $(\text{BETS})_4\text{HgBr}_4(\text{C}_6\text{H}_5\text{Cl})$  при гидростатическом давлении  $P \sim 10$  кбар. Качественно поведение зависимости похоже на аналогичное при нормальном давлении — сопротивление растет с понижением температуры в широком интервале температур. При этом фазовый переход, меняющий кристаллическую структуру, сдвигается на 20–30 К в сторону высоких температур, а при  $T \approx 30$  К наблюдаются максимум



**Рис. 4.** Зависимость сопротивления от магнитного поля при давлении  $P \sim 10$  кбар и направлении поля, перпендикулярном проводящим слоям;  $T = 1.55$  К. На вставках: *а* — осцилляции ШдГ в обратном поле и без неосциллирующей части; *б* — фурье-спектр осцилляций из вставки *а*

и дальнейшее падение сопротивления с понижением температуры. По всей вероятности, при данной температуре происходит смена режима межслоевого переноса от некогерентного к слабонекогерентному, когда время рассеяния электрона в слое порядка времени перехода на соседний слой:  $\tau_c \sim \tau_h$ . Для этого типа транспорта характерна именно металлическая температурная зависимость сопротивления [8, 9].

Косвенным подтверждением этой версии служит положительный знак магнитосопротивления при низкой температуре (рис. 4), присущий металлическим системам, в том числе и межслоевому магнитосопротивлению в слоистых органических металлах [10]. Кривая на рис. 4 содержит осцилляции ШдГ (вставка *а*) с частотами  $F_1 \approx 50$  Тл и  $F_2 \approx 230$  Тл, незначительно отличающимися от аналогичных частот, наблюдавшихся при атмосферном давлении (вставка *б*). Соответствующие циклотронные массы при атмосферном и высоком давлении также совпадают в пределах ошибки измерений. Таким образом, с учетом присутствия фазового перехода под давлением можно предположить, что электронная структура при низких температурах внутри катионных слоев практически сохранилась в условиях внешнего давления. Но в этом случае электронный перенос на соседний слой остается

затрудненным, и возникает вопрос о причине смены режима переноса. Представляется, что, скорее всего, она связана с увеличением вероятности когерентного перехода электрона через слой (с пропуском соседнего) вследствие сближения проводящих слоев под действием внешнего давления. В этом случае время рассеяния в слое должно быть сравнимо со временем перескока через слой.

### 3. ЗАКЛЮЧЕНИЕ

В квазидвумерном органическом двухслойном металле  $\theta$ -(BETS)<sub>4</sub>HgBr<sub>4</sub>(C<sub>6</sub>H<sub>5</sub>Cl) исследованы температурные зависимости межслоевого сопротивления при атмосферном давлении и при гидростатическом давлении  $P \sim 10$  кбар. В тех же условиях изучено поведение магнитосопротивления при низких температурах в зависимости от величины поля и температуры. Кроме того, изучались угловые зависимости магнитосопротивления в полярных и азимутальной плоскостях при атмосферном давлении. Установлено, что

- 1) межслоевой электронный перенос осуществляется при атмосферном давлении в режиме некогерентного транспорта;
- 2) внешнее давление, по всей вероятности, почти не меняет электронной структуры катионных слоев;
- 3) давление  $P \sim 10$  кбар приводит к изменению режима межслоевого транспорта от некогерентного к слабонекогерентному при низких температурах, скорее всего, за счет увеличения вероятности электронного перехода через слой под давлением.

Работа поддержана Программами Президиума РАН 1.1.1.9 и «Современные проблемы физики низких температур».

### ЛИТЕРАТУРА

1. M. V. Kartsovnik, Chem. Rev. **104**, 5737 (2004).
2. M. V. Kartsovnik, in *The Physics of Organic Superconductors and Conductors*, ed. by A. Lebed, Springer, Berlin–Heidelberg (2008), p. 185.
3. R. B. Lyubovskii, S. I. Pesotskii, S. V. Konovalikhin et al., Synth. Met. **123**, 149 (2001).
4. D. Vignolles, A. Audouard, R. B. Lyubovskii et al., Sol. St. Sci. **9**, 1144 (2007).

5. R. Lyubovskaya, E. Zhilyaeva, G. Shilov et al., Eur. J. Inorg. Chem. **24**, 3820 (2014).
6. M. V. Kartsovnik, D. Andres, S. V. Simonov et al., Phys. Rev. Lett. **96**, 166601 (2006).
7. Р. Б. Любовский, С. И. Песоцкий, Е. И. Жиляева и др., ЖЭТФ **143**, 1161 (2013).
8. R. McKenzei and P. Moses, Phys. Rev. Lett. **81**, 4492 (1998).
9. P. Moses and R. H. McKenzie, Phys. Rev. B **60**, 7998 (1999).
10. P. D. Grigoriev, M. V. Kartsovnik, and W. Biberacher, Phys. Rev. B **86**, 165125 (2012).